

**НЕЛОКАЛЬНЫЙ ФЛУКТУАЦИОННЫЙ ЭЛЕКТРОМАГНИТНЫЙ  
ОТКЛИК И МАГНИТНОЕ РАССЕЯНИЕ НЕЙТРОНОВ В БЛИЗИ  
ТЕМПЕРАТУРЫ ПЕРЕХОДА В СВЕРХПРОВОДЯЩЕЕ СОСТОЯНИЕ.**

*Ю.С.Бараш, А.В.Галактионов*

*Физический институт им. П.Н.Лебедева РАН  
117924, Москва, Россия*

Поступила в редакцию 8 июля 1992 г.

После переработки 2 сентября 1992 г.

Найдено общее выражение для зависящего от частоты и волнового вектора вклада сверхпроводящих флуктуаций в поперечную диэлектрическую проницаемость  $\epsilon_{tr}^f(\Omega, Q)$  нормального массивного изотропного металла вблизи  $T_c$  при  $\Omega \ll T_c$  и  $Q\xi_0 \ll 1$ . Рассмотрено дифференциальное сечение магнитного рассеяния нейтронов вблизи  $T_c$  в области сравнительно небольших углов.

С приближением к температуре сверхпроводящего перехода проводимость и диамагнетизм нормального металла, как известно, увеличиваются вследствие флуктуационного возникновения куперовских пар<sup>1-6</sup>. Такая флуктуационная часть электромагнитного отклика обычно рассматривается для случая, когда пространственной дисперсией проводимости и диамагнитной восприимчивости можно пренебречь. Имеются, однако, задачи для которых нелокальность флуктуационного электромагнитного отклика играет существенную роль, и ее необходимо учитывать в полной мере. Для флуктуационного диамагнетизма соответствующее рассмотрение было проведено нами в<sup>7</sup> в статическом пределе. Ниже для более общего случая найден флуктуационный отклик как функция частоты и волнового вектора. Показано, что пространственная дисперсия флуктуационного отклика при значениях переданного импульса, реализованных недавно в экспериментах по рассеянию на ВТСП<sup>8</sup>, может играть существенную роль и проявиться в поведении дифференциального сечения магнитного рассеяния.

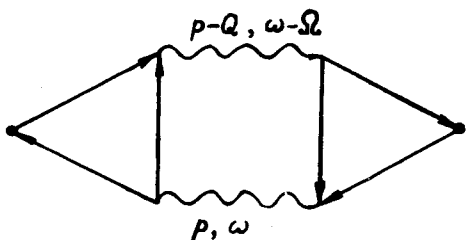


Рис.1.

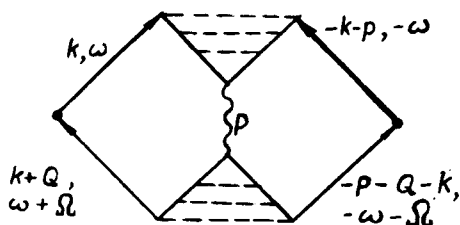


Рис.2

В нормальном металле вблизи  $T_c$  основной вклад во флуктуационный линейный электромагнитный отклик вне критической области описывается, как известно, приведенными на рис.1,2 диаграммами (волнистая линия соответствует флуктуационному пропагатору, штриховая – рассеянию на примесях). Диаграмма на рис.1, отвечающая вкладу Асламазова – Ларкина, обычно рассматривается для частоты  $\Omega \ll T_c$  и в пределе стремящегося к нулю импульса

$Q$  внешнего электромагнитного поля. Предположим, что внешний импульс  $Q$  может быть сравним или даже превышать обратный корреляционный радиус сверхпроводящих флюктуаций  $\xi^{-1}(T)$ , но при этом  $Q \ll \xi_0^{-1}$ , где  $\xi_0$  – длина когерентности при нулевой температуре. При вычислении диаграммы рис.1 это обстоятельство приводит к существенной зависимости флюктуационных пропагаторов от  $Q$ , в то время как электронные петли по-прежнему могут быть описаны выражениями, отвечающими пределу  $Q \rightarrow 0$ . Дело в том, что для флюктуационных пропагаторов  $K^{R,A}(p, \omega) = 1/(a + p^2/4m \mp i\gamma\omega)$  (здесь  $a = \alpha(T - T_c)$ ) характерным импульсом является  $\xi^{-1}(T)$ , а для электронных гриновских функций – либо  $\xi_0^{-1}$ , либо  $l^{-1}$ , где  $l$  – длина свободного пробега.

Рассматривая приложенное поперечное поле  $\text{div}E = 0$ , из диаграммы рис.1 после соответствующего аналитического продолжения и интегрирования по частоте имеем  $j(\Omega, Q) = (-i\Omega/4\pi)\epsilon_{tr}^f(\Omega, Q)E(\Omega, Q)$ , где

$$\begin{aligned}\epsilon_{tr}^f(\Omega, Q) = & \frac{64\pi e^2 T_c}{\Omega^2} \int \frac{d^3 p}{(2\pi)^3} p_y^2 \left\{ \frac{1}{2\xi^{-2}(T) + p^2 + (p - Q)^2 - 4im\gamma\Omega} \left[ \frac{1}{\xi^{-2}(T) + p^2} + \right. \right. \\ & \left. \left. + \frac{1}{\xi^{-2}(T) + (p - Q)^2} \right] - \frac{1}{(\xi^{-2}(T) + p^2)^2} \right\}. \quad (1)\end{aligned}$$

Здесь  $\xi(T) = 1/2(ma)^{1/2}$ , а вектор  $Q$  полагается направленным вдоль  $x$ . Далее удобно ввести безразмерные частоту  $\omega = 2m\gamma\xi^2(T)\Omega$  и волновой вектор  $q = Q\xi(T)/2$ . Тогда после вычисления интеграла (1) зависящий от частоты и волнового вектора вклад Асламазова – Ларкина в поперечную диэлектрическую проницаемость нормального металла вблизи  $T_c$  можно представить в следующем виде:

$$\begin{aligned}\epsilon_{tr}^f(\Omega, Q) = & \frac{16\gamma^2 m^2 e^2 T_c \xi^3(T)}{\omega^2} \left\{ 1 + \frac{i\omega}{2q^2} (1 - (1 + q^2 - i\omega)^{1/2}) - \right. \\ & \left. - \frac{1}{q} (1 + q^2 (1 - \frac{i\omega}{2q^2})^2) [\arctg(q - \frac{i\omega}{2q}) + \arctg(\frac{i\omega}{2q(1 + q^2 - i\omega)^{1/2}})] \right\}. \quad (2)\end{aligned}$$

Выражение (2) может быть получено также из зависящего от времени линеаризованного уравнения Гинзбурга – Ландау с ланжевеновским источником.

Для малых значений волнового вектора  $q^2 \ll \omega$  из (2) находим

$$\epsilon_{tr}^f(\Omega, Q) = \epsilon^f(\Omega) + i \frac{256\gamma^2 m^2 e^2 T_c \xi^3(T)}{15\omega^5} q^2 [1 - \frac{5}{2}i\omega - (1 - i\omega)^{5/2} - \frac{15}{8}\omega^2(1 - i\omega)^{1/2}], \quad (3)$$

где выражение для флюктуационной диэлектрической проницаемости с учетом только частотной дисперсии

$$\epsilon^f(\Omega) = \frac{32\gamma^2 m^2 e^2 T_c \xi^3(T)}{\omega^2} \left\{ 1 + \frac{2i}{3\omega} [1 - (1 - i\omega)^{3/2}] \right\} \quad (4)$$

согласуется с результатами работ <sup>1,2</sup>

Для сравнительно больших значений волнового вектора  $q^2 \gg \omega$  из (2) имеем

$$\epsilon_{tr}^f(\Omega, Q) = \frac{4\pi c^2 Q^2}{\Omega^2} \chi^f(Q) + \frac{4\pi i}{\Omega} \sigma^f(Q). \quad (5)$$

Здесь  $\chi^f(Q)$  и  $\sigma^f(Q)$  – зависящие от волнового вектора статические диамагнитная восприимчивость и поперечная проводимость нормального металла

вблизи  $T_c$ . Величина  $\chi^f(Q)$  была найдена в <sup>7</sup>. Пространственная дисперсия статической поперечной флюктуационной проводимости имеет вид

$$\sigma^f(Q) = \frac{2\sigma_{Mz}}{q} [\arctg q + \frac{1}{q}(1 - (1 + q^2)^{1/2})], \quad (6)$$

где  $\sigma_{Mz} = e^2 \gamma m T_c \xi(T)/\pi$  – флюктуационная проводимость Асламазова – Ларкина.

Из (6) следует, что вблизи  $T_c$  пространственная дисперсия флюктуационной проводимости металла становится существенной уже для весьма малых значений волнового вектора  $Q \sim \xi^{-1}(T) \ll \xi_0^{-1}$ , когда во всех других вкладах в проводимость зависимостью от волнового вектора можно пренебречь.

В отличие от диаграммы Асламазова–Ларкина для диаграммы Маки–Томпсона <sup>4,5</sup>, изображенной на рис.2 возможна такая параметризация импульсов, при которой внешний импульс проходит только через линии электронных гривовских функций и не проходит через флюктуационный пропагатор (как это показано на рис.2). С этим связано качественное различие в поведении пространственной дисперсии у поправок Асламазова–Ларкина и Маки–Томпсона. При условии  $Q \ll \xi_0^{-1}$  можно пренебречь зависимостью от волнового вектора у поправки Маки–Томпсона  $\sigma_{mt}$  к проводимости металла. Так, в грязном пределе нелокальность поправки Маки–Томпсона становится заметной лишь для  $Q \sim l^{-1} \gg \xi_0^{-1}$ . Учет частотной дисперсии поправки Маки–Томпсона приводит в грязном пределе к выражению :

$$\sigma_{mt}(\Omega) = \frac{1}{8} \frac{e^2}{\xi_0(t^{1/2} + (\delta - \frac{\pi i \Omega}{8T_c})^{1/2})}, \quad (7)$$

где  $t = (T - T_c)/T_c$ ,  $\delta = \pi/8T_c \tau_\phi$ ,  $\tau_\phi$  – время релаксации фазы. В статическом пределе (7) согласуется с известным результатом Маки–Томпсона.

Специфические зависимости поперечной проницаемости от температуры, волнового вектора и частоты могут проявиться, например, в поведении дифференциального сечения магнитного рассеяния нейтронов в нормальном металле вблизи  $T_c$ . Недавно поведение такого типа наблюдалось в экспериментах на поликристаллических образцах ВТСП <sup>8</sup>. В отсутствие магнитного упорядочения магнитное рассеяние нейтронов обусловлено их взаимодействием с равновесным флюктуационным магнитным полем. Соответствующее дифференциальное сечение рассеяния деполяризованного пучка в область телесного угла  $dO$  и в интервал переданной энергии  $d\Omega$  в случае сравнительно малых значений переданной энергии  $\Omega \ll T_c$ , имеет для массивного изотропного образца следующий вид

$$\frac{d^2 S}{d\Omega dO} = \frac{g^2 e^2 V T_c}{2\pi^2 c^2} \frac{p'}{p} \frac{1}{\Omega} Im \frac{1}{1 - \frac{\Omega^2}{c^2 Q^2} \epsilon_{tr}(\Omega, Q)}. \quad (8)$$

Здесь  $Q$  – переданный импульс,  $p = m_N v_N$  и  $p' = p + Q$  – начальный и конечный импульсы нейтрана,  $g = 1,91$  – величина магнитного момента нейтрана в ядерных магнетонах.

В <sup>8</sup> было измерено интегральное по энергии сечение рассеяния  $dS/dO$  в области малых углов. Для его вычисления следует проинтегрировать (8) по энергии  $\Omega$  при фиксированном угле рассеяния  $\theta$  или, что эквивалентно при фиксированном переданном импульсе  $K = 2p \sin(\theta/2)$ , отвечающем квазипрого му рассеянию на угол  $\theta$ . Для рассеяния на малые углы при интегрировании (8) имеем  $\Omega/v_N \sim K \ll p$ . Поэтому в (8) можно приближенно положить

$Q^2 = K^2 + \Omega^2/v_N^2$ . Далее в представляющей интерес области частот и волновых векторов поперечную диэлектрическую проницаемость можно представить в виде  $\epsilon_{tr}(\Omega, Q) = 4\pi i\sigma/\Omega + \epsilon_{tr}^f(\Omega, Q)$ , где  $\sigma$  – статическая проводимость нормального металла без учета сверхпроводящих флуктуаций (для ВТСП в  $\sigma$  может быть включена и поправка Маки–Томпсона; см. также ниже), а  $\epsilon_{tr}^f(\Omega, Q)$  определено в (2). Спиновый вклад в  $\epsilon_{tr}(\Omega, Q)$  в данной области  $\Omega$  и  $Q$  обычно не имеет специфической зависимости от температуры вблизи  $T_c$  и поэтому не учитывается.

Оценки, основанные на условиях измерений в <sup>8</sup>, показывают, что с хорошей точностью выполняется неравенство  $c^2 Q^2 \gg \Omega^2 \epsilon_{tr}(\Omega, Q)$ . С учетом этого получаем явные аналитические выражения для вклада сверхпроводящих флуктуаций в сечение рассеяния  $dS^f/dO$  в интервалах углов, для которых  $K \ll m\gamma v_N/\hbar^2$  и  $K \gg m\gamma v_N/\hbar^2$ :

$$\frac{dS^f}{dO} = \frac{16g^2 e^4 V T_c^2}{\pi c^4 \hbar^8} (m\gamma v_N)^2 \xi^3(T) \left\{ \frac{2}{3\tilde{k}^3} [(1 + \tilde{k})^{3/2} - 1] - \frac{1}{\tilde{k}^2} \right\}, \quad K \ll m\gamma v_N/\hbar^2, \quad (9)$$

$$\frac{dS^f}{dO} = \frac{g^2 e^4 V T_c^2 \gamma v_N}{2\pi c^4 \hbar^4 a} \left[ \frac{1}{k^2} \left( 1 + \frac{k}{2} - (1 + k^2)^{1/2} \right) + \frac{2\chi^f(K)}{3\pi\chi^f(0)} \right], \quad K \gg m\gamma v_N/\hbar^2. \quad (10)$$

Здесь введены безразмерные величины  $k = K\xi(T)/2$ ,  $\tilde{k} = 2m\gamma v_N \xi^2(T)K/\hbar^2$  и постоянная Планка уже не полагается равной единице. Условия  $K \ll m\gamma v_N/\hbar^2$  и  $K \gg m\gamma v_N/\hbar^2$  отвечают предельным случаям  $q^2 \ll \omega$  и  $q^2 \gg \omega$  (если при этом  $\Omega \sim Kv_N$ ). Таким образом зависимость сечения рассеяния  $dS^f/dO$  от импульса  $\hbar K$  в интервале углов  $K \ll m\gamma v_N/\hbar^2$  (см.(9)) связана с зависимостью диэлектрической проницаемости (4) от частоты  $\Omega$ . При этом влияние пространственной дисперсии пренебрежимо мало. Вместе с тем зависимость величины  $dS^f/dO$  от импульса  $\hbar K$  в интервале углов  $K \gg m\gamma v_N/\hbar^2$  (см.(10)) непосредственно связана с зависимостью флуктуационной проводимости (6) от волнового вектора. Отсюда следует, что учет пространственной дисперсии здесь существен при условии  $K \geq m\gamma v_N/\hbar^2, \xi^{-1}(T)$ . Оценки показывают, что переданные импульсы такого порядка величины фигурируют в измерениях в <sup>8</sup>.

При условии  $K \ll m\gamma v_N/\hbar^2$  может иметь место, вообще говоря, любое из соотношений  $\tilde{k} \ll 1$  и  $\tilde{k} \gg 1$ . Аналогично, неравенство  $K \gg m\gamma v_N/\hbar^2$  не исключает реализации обоих пределов  $k \ll 1$ ,  $k \gg 1$ . В предельных случаях  $\tilde{k} \ll 1$  и  $k \ll 1$  соотношения (9), (10) принимают, как и должно быть один и тот же вид

$$\frac{dS^f}{dO} = \frac{g^2 e^4 V T_c^2 \gamma v_N m^{1/2}}{\pi c^4 \hbar^5 [\alpha(T - T_c)]^{1/2} K} = \frac{2g^2 e^2 V T_c \sigma_{AL} v_N}{c^4 \hbar^2 K}. \quad (11)$$

В данных условиях сечение рассеяния растет с приближением к  $T_c$  как  $(T - T_c)^{-1/2}$  и пропорционально  $1/K$ .

Если же  $\tilde{k} \gg 1$  в (9) или  $k \gg 1$  в (10), то сечение рассеяния уже не растет с приближением к  $T_c$ , и из (9), (10) находим

$$\frac{dS^f}{dO} = \frac{8g^2 e^4 V T_c^2 [2m\gamma v_N]^{1/2}}{3\pi c^4 \hbar^5 K^{3/2}}, \quad \frac{\hbar^2}{2m\gamma v_N \xi^2(T)} \ll K \ll m\gamma v_N/\hbar^2, \quad (12)$$

$$\frac{dS^f}{dO} = \frac{16}{\pi^2} \left( \frac{\pi}{2} - 1 \right) \frac{g^2 e^4 V T_c^2 m\gamma v_N}{c^4 \hbar^6 K^2}, \quad K \gg m\gamma v_N/\hbar^2, \frac{1}{\xi(T)}. \quad (13)$$

К выражению вида (11) приводит фактически, учет любого вклада  $\Delta\sigma$  в проводимость металла, в той области углов рассеяния, где можно пренебречь как пространственной, так и частотной дисперсией  $\Delta\sigma$  (при условии  $c^2 K^2 \gg \Omega^2 \epsilon_{tr}(\Omega, K)$  вклады в рассеяние от различных слагаемых в  $\epsilon_{tr}(\Omega, K)$  в первом приближении являются аддитивными). Сказанное относится и к поправке Маки – Томпсона. Можно показать, что вследствие малого значения времени релаксации фазы  $\tau_\phi \sim \hbar/T_c$  в ВТСП<sup>10</sup>, при условии  $\hbar\Omega \ll T_c$  частотную дисперсию у поправки Маки – Томпсона можно не учитывать. Таким образом во всей рассматриваемой здесь области углов рассеяния вклад в магнитное рассеяние от поправки Маки – Томпсона описывается формулой (11) с заменой  $\sigma_{AL} \rightarrow \sigma_{MT}$ . Данный вклад в рассеяние меньше, например, выражения (13) в мере малого параметра  $K\xi_0$  и поэтому им можно пренебречь.

Поскольку сверхпроводящие флуктуации, по предположению, имеют гауссовский характер, для корректности описания высоты плато на основе соотношений (12),(13) требуется, чтобы условия их применимости выполнялись при  $T > T_{G_i}$ , где  $T_{G_i}$  – граница областей гауссовых и сильных флуктуаций. В частности, для справедливости (13) необходимо  $[K\xi(T_{G_i})]^2 \gg 1$ . Для условий эксперимента<sup>8</sup> величина  $K\xi(T_{G_i})$ , по-видимому, составляет несколько единиц, что позволяет использовать (13) по крайней мере для качественных оценок.

Рассмотрим сечение рассеяния  $dS^f/dO$  как функцию температуры, при заданной величине переданного импульса и условии  $K\xi_0 \ll 1$  (а также  $\hbar K \ll p$ ). С понижением температуры и приближением к  $T_c$ , когда начинают проявляться гауссовые сверхпроводящие флуктуации, величина  $dS^f/dO$  увеличивается согласно (11). Затем вследствие роста величины  $\xi(T)$  выполняется одно из условий (12) или (13), и на графике функции  $dS^f/dO$  появляется плато. В<sup>8</sup> наблюдалось как раз такое поведение величины  $dS^f/dO$ .

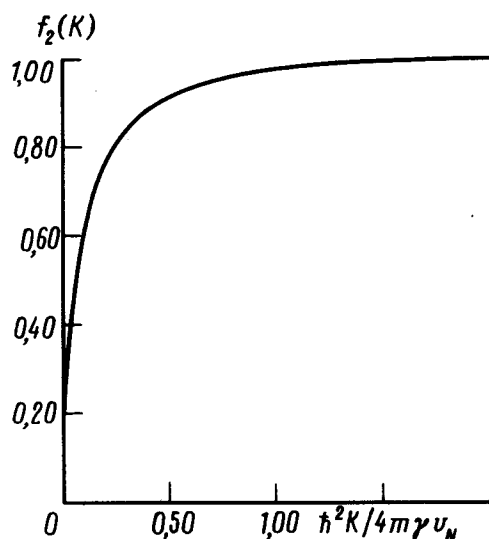


Рис.3.

Согласно нашим результатам (12),(13), высота плато уменьшается с ростом переданного импульса и  $\propto K^{-3/2}$ , если эффекты нелокальности флуктуационного отклика несущественны ( $K \ll m\gamma v_N/\hbar^2$ ), либо  $\propto K^{-2}$ , если учет пространственной дисперсии необходим ( $K \gg m\gamma v_N/\hbar^2$ ). На основе численного расчета

можно описать зависимость величины плато от  $K$  также и в промежуточной области переданных импульсов. Запишем с этой целью сечение рассеяния в виде  $dS^f/dO = f_1(K)f_2(K)$ , где  $f_1(K)$  представляет выражение (13). График функции  $f_2(K)$  приведен на рис.3. Из экспериментальных результатов в<sup>8</sup> видно, что уменьшение высоты плато с ростом  $K$  для них лучше описывается зависимостью  $K^{-2}$ , чем  $K^{-3/2}$ . Это обстоятельство вместе с другими упомянутыми выше оценками позволяет сделать вывод о необходимости учета эффектов нелокальности при интерпретации данных измерений.

Для интервала углов (12) высота плато пропорциональна величине  $T_c^{3/2}/\xi_0$ , а для интервала углов (13) – величине  $T_c/\xi_0^2$  (здесь полагаем  $\xi_0 \sim \hbar/(m\alpha T_c)^{1/2}$  и  $\gamma \sim \hbar\alpha$ ). Отсюда следует, что для ВТСП высота плато, то есть характерная величина вклада сверхпроводящих флуктуаций в магнитное рассеяние нейтронов оказывается в  $10^3 \div 10^5$  раз больше, чем в случае обычных низкотемпературных сверхпроводников (с большой длиной когерентности). Полученные выше результаты, однако, можно использовать лишь для качественного обсуждения экспериментальных данных<sup>8</sup>. Для количественного анализа измерений<sup>8</sup>, требуется обобщение найденных здесь результатов на случай анизотропных сверхпроводников и поликристаллической структуры использованных в<sup>8</sup> образцов ВТСП. Если для оценки абсолютной величины изменения сечения рассеяния вблизи  $T_c$  все же использовать (13) совместно с данными<sup>8</sup> ( $K = 0, 035 \text{ \AA}^{-1}$ ,  $v_N = 6 \cdot 10^5 \text{ см/с}$ ), полагая также  $\xi_0 \approx 2 \text{ \AA}$ , то для сечения  $dS^f/dO$ , нормированного на один атом (объем элементарной ячейки  $\text{YBa}_2\text{Cu}_3\text{O}_{7-\delta}$  есть  $173 \text{ \AA}^3$ ) получим значение, меньшее измеренного в<sup>8</sup> в несколько десятков раз. Как анизотропия (в особенности, если флуктуации близки по характеру к двумерным), так и поликристаллическая структура образца должны привести к заметному увеличению рассеяния. При этом может быть существенно влияние неоднородностей образца, даже если они имеют сравнительно большой характерный масштаб. Действительно, волновому вектору  $K = 0, 035 \text{ \AA}^{-1}$  отвечает длина волны  $180 \text{ \AA}$ . В таких условиях использование результатов, полученных для однородной системы, оправдано лишь при отсутствии неоднородностей с масштабом меньшим  $10^3 \text{ \AA}$ .

Авторы благодарны В.Л.Гинзбургу за полезное обсуждение работы.

1. Л.Г.Асламазов, А.И.Ларкин, ФТТ **10**, 1104 (1968).
2. H.Schmidt, Z.Phys. **216**, 336 (1968).
3. A.Schmid, Phys. Rev. **180**, 527 (1969).
4. K.Maki, Prog.Theor. Phys. **39**, 897 (1968).
5. R.S.Thompson, Phys. Rev. B **1**, 327 (1970).
6. W.J.Skockpol, M.Tinkham, Rep. Progr. Phys. **38**, 1049 (1975).
7. Ю.С.Баращ, А.В.Галактионов, Письма в ЖЭТФ **55**, 248 (1992).
8. N.R.Bernhoeft, P.J.Allen, D.McK.Paul, et al., Nature, **350**, 690 (1991).
9. М.Тинкхам. Введение в сверхпроводимость, М.: Атомиздат, 1980.
10. J.B.Bieri, K.Maki, R.S.Thompson, Phys. Rev. B **44**, 4709 (1991).